
Адаптивное изменение параметра пространственного разрешения в подходе к описанию турбулентных течений на основе частично усреднённых уравнений Навье-Стокса

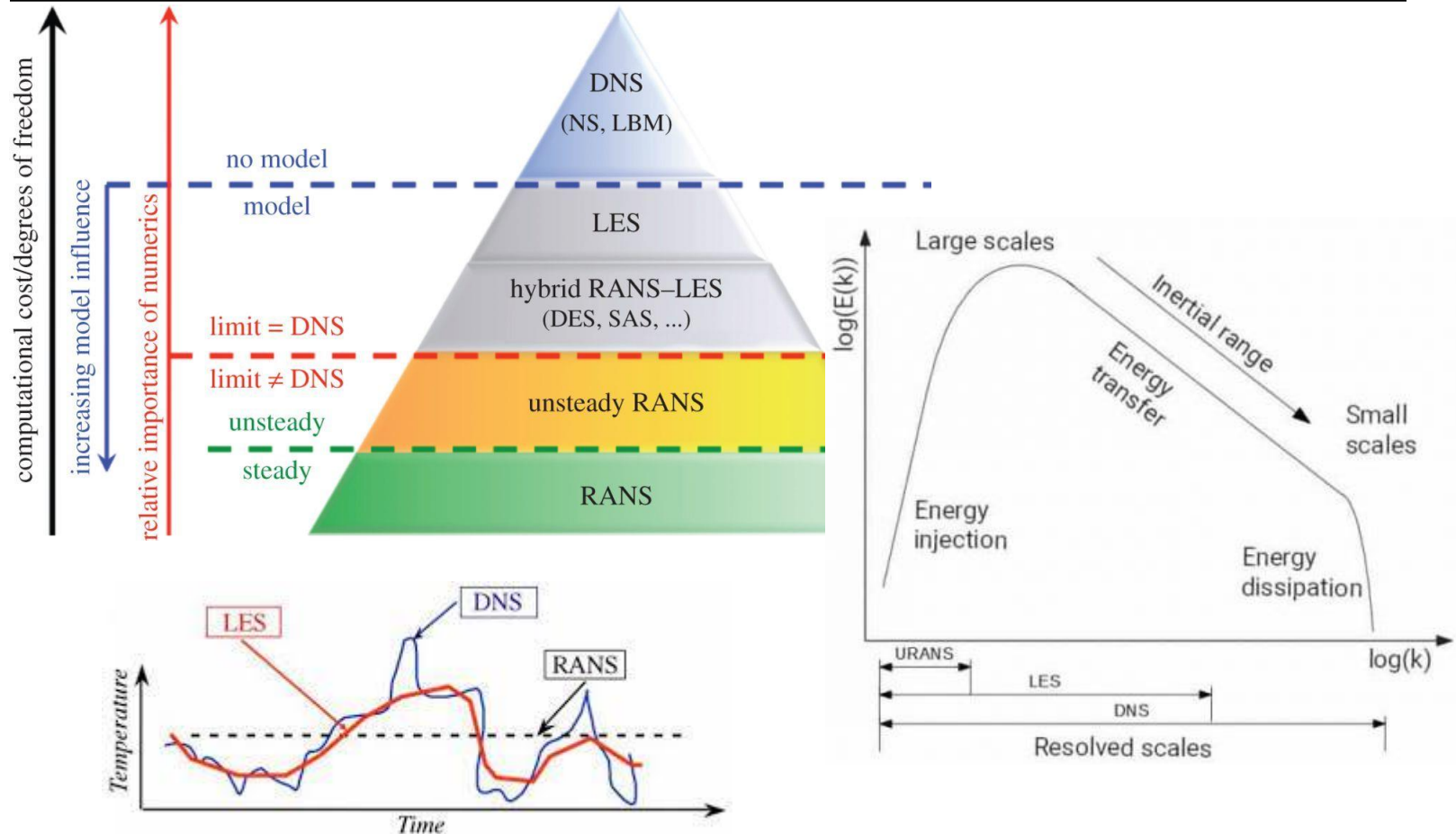
П.А. Кучугов

ФИЦ Институт прикладной математики им. М.В. Келдыша РАН

**XVII Международная конференция «Забабахинские
научные чтения»**

г. Снежинск, Челябинская обл., РФ,
19 - 23 мая 2025

Подходы к моделированию турбулентности



Deck S., Gand F., Brunet V. et al., High-fidelity simulations of unsteady civil aircraft aerodynamics: stakes and perspectives. Application of zonal detached eddy simulations, Phil. Trans. R. Soc. A, 372, 20130325, 2014, [doi: 10.1098/rsta.2013.0325](https://doi.org/10.1098/rsta.2013.0325).

Частично усреднённые уравнения Навье-Стокса

$$f = \langle f \rangle + f', \quad \{f\} = \langle \rho f \rangle / \langle \rho \rangle$$

$$\left\langle \frac{\partial f}{\partial x_i} \right\rangle = \frac{\partial \langle f \rangle}{\partial x_i}, \quad \left\langle \frac{\partial f}{\partial t} \right\rangle = \frac{\partial \langle f \rangle}{\partial t}, \quad \langle f + g \rangle = \langle f \rangle + \langle g \rangle, \quad \langle \alpha f \rangle = \alpha \langle f \rangle$$

$$\frac{\partial \langle \rho \rangle}{\partial t} + \frac{\partial}{\partial x_i} (\langle \rho \rangle \{v_i\}) = 0$$

$$\frac{\partial}{\partial t} (\langle \rho \rangle \{v_i\}) + \frac{\partial}{\partial x_j} (\langle \rho \rangle \{v_i\} \{v_j\} + \langle p \rangle \delta_{ij}) = \frac{\partial \langle \sigma_{ij} \rangle}{\partial x_j} - \frac{\partial}{\partial x_j} (\langle \rho \rangle \tau_1(v_i, v_j))$$

$$\frac{\partial}{\partial t} (\langle \rho \rangle \{E\}) + \frac{\partial}{\partial x_i} (\langle \rho \rangle \{E\} \{v_i\} + \langle p \rangle \{v_i\}) =$$

$$= \frac{\partial}{\partial x_i} (\{v_j\} \langle \sigma_{ij} \rangle - \langle q_i \rangle) - \frac{\partial}{\partial x_i} \tau_2(v_i, H) - \frac{\partial}{\partial x_i} (\langle \rho \rangle \{v_k\} \tau_1(v_k, v_i)) +$$

$$+ \frac{\partial}{\partial x_i} \tau_2(v_j, \sigma_{ij}) - \frac{\partial}{\partial x_i} \left(\frac{1}{2} \langle \rho \rangle \tau_1(v_i, v_k, v_k) \right)$$

$$p \approx p(\langle \rho \rangle, \{\varepsilon\})$$

$$\langle \rho \rangle \{E\} = \langle \rho \rangle \left(\{\varepsilon\} + \frac{1}{2} \{v_k\} \{v_k\} \right) + \langle \rho \rangle \frac{1}{2} \tau_1(v_k, v_k)$$

Частично усреднённые уравнения Навье-Стокса

$$f = \langle f \rangle + f', \quad \{f\} = \langle \rho f \rangle / \langle \rho \rangle$$

$$\left\langle \frac{\partial f}{\partial x_i} \right\rangle = \frac{\partial \langle f \rangle}{\partial x_i}, \quad \left\langle \frac{\partial f}{\partial t} \right\rangle = \frac{\partial \langle f \rangle}{\partial t}, \quad \langle f + g \rangle = \langle f \rangle + \langle g \rangle, \quad \langle \alpha f \rangle = \alpha \langle f \rangle$$

$$\frac{\partial \langle \rho \rangle}{\partial t} + \frac{\partial}{\partial x_i} (\langle \rho \rangle \{v_i\}) = 0$$

$$\frac{\partial}{\partial t} (\langle \rho \rangle \{v_i\}) + \frac{\partial}{\partial x_j} (\langle \rho \rangle \{v_i\} \{v_j\} + \langle p \rangle \delta_{ij}) = \frac{\partial \langle \sigma_{ij} \rangle}{\partial x_j} - \frac{\partial}{\partial x_j} (\langle \rho \rangle \tau_1(v_i, v_j))$$

$$\frac{\partial}{\partial t} (\langle \rho \rangle \{E\}) + \frac{\partial}{\partial x_i} (\langle \rho \rangle \{E\} \{v_i\} + \langle p \rangle \{v_i\}) =$$

$$= \frac{\partial}{\partial x_i} (\{v_j\} \langle \sigma_{ij} \rangle - \langle q_i \rangle) - \frac{\partial}{\partial x_i} \tau_2(v_i, H) - \frac{\partial}{\partial x_i} (\langle \rho \rangle \{v_k\} \tau_1(v_k, v_i)) +$$

$$+ \frac{\partial}{\partial x_i} \tau_2(v_j, \sigma_{ij}) - \frac{\partial}{\partial x_i} \left(\frac{1}{2} \langle \rho \rangle \tau_1(v_i, v_k, v_k) \right)$$

$$p \approx p(\langle \rho \rangle, \{\varepsilon\})$$

$$\langle \rho \rangle \{E\} = \langle \rho \rangle \left(\{\varepsilon\} + \frac{1}{2} \{v_k\} \{v_k\} \right) + \langle \rho \rangle \frac{1}{2} \tau_1(v_k, v_k)$$

Частично усреднённые уравнения Навье-Стокса: выражения для корреляционных моментов

$$\tau_1(f, g) = \{fg\} - \{f\}\{g\}$$

$$\tau_2(f, g) = \langle fg \rangle - \{f\}\langle g \rangle$$

$$\tau_1(f, g, h) = \{fgh\} - \{f\}\tau_1(g, h) - \{g\}\tau_1(f, h) - \{h\}\tau_1(f, g) - \{f\}\{g\}\{h\}$$

...

ВОЗМОЖНО ВВЕДЕНИЕ И ДРУГИХ МОМЕНТОВ

Germano M., Turbulence: the filtering approach, J. Fluid Mech., 238, 325-336, 1992, [doi: 10.1017/S0022112092001733](https://doi.org/10.1017/S0022112092001733).

Частично усреднённые уравнения Навье-Стокса: замыкающие соотношения

$$-\langle \rho \rangle \tau_1(v_i, v_j) = 2\mu_u \left(\frac{1}{2} \left(\frac{\partial \{v_j\}}{\partial x_i} + \frac{\partial \{v_i\}}{\partial x_j} \right) - \frac{1}{3} \frac{\partial \{v_k\}}{\partial x_k} \delta_{ij} \right) - \frac{2}{3} k_u \delta_{ij}$$

$$\tau_2(v_i, H) \approx -C_p \frac{\mu_u}{Pr_t} \frac{\partial \langle T \rangle}{\partial x_i}$$

$$\langle q_i \rangle = -C_p \frac{\mu}{Pr} \frac{\partial \langle T \rangle}{\partial x_i}$$

$$\tau_2(v_j, \sigma_{ij}) - \frac{1}{2} \langle \rho \rangle \tau_1(v_i, v_k, v_k) \approx \left(\langle \mu \rangle + \frac{\mu_u}{\sigma_{ku}} \right) \frac{\partial k_u}{\partial x_i}$$

Частично усреднённые уравнения Навье-Стокса: замыкающие соотношения

$$\left\{ \begin{array}{l} \frac{\partial}{\partial t} (\langle \rho \rangle k_u) + \frac{\partial}{\partial x_j} (\langle \rho \rangle k_u \{v_i\}) = P_{ku} - \langle \rho \rangle \varepsilon_u + T_{ku} \\ \frac{\partial}{\partial t} (\langle \rho \rangle \varepsilon_u) + \frac{\partial}{\partial x_j} (\langle \rho \rangle \varepsilon_u \{v_i\}) = C_{1\varepsilon}^* P_{ku} \frac{\varepsilon_u}{k_u} - C_{2\varepsilon}^* \frac{\langle \rho \rangle \varepsilon_u^2}{k_u} + T_{\varepsilon u} \end{array} \right.$$

$$\mu_u = \langle \rho \rangle C_{\mu u} k_u^2 / \varepsilon_u$$

$$P_{ku} = -\langle \rho \rangle \tau_1 (v_i, v_j) \frac{\partial \{v_j\}}{\partial x_i}$$

$$T_{ku} = \frac{\partial}{\partial x_i} \left(\left(\langle \mu \rangle + \frac{\mu_u}{\sigma_{ku}} \right) \frac{\partial k_u}{\partial x_i} \right) \quad T_{\varepsilon u} = \frac{\partial}{\partial x_i} \left(\left(\langle \mu \rangle + \frac{\mu_u}{\sigma_{\varepsilon u}} \right) \frac{\partial \varepsilon_u}{\partial x_i} \right)$$

$$f_k = \frac{k_u}{k} \quad f_\varepsilon = \frac{\varepsilon_u}{\varepsilon}$$

Частично усреднённые уравнения Навье-Стокса: замыкающие соотношения

$$\frac{Dk_u}{Dt} = \frac{\partial k_u}{\partial t} + \{v_i\} \frac{\partial k_u}{\partial x_i} = f_k \frac{Dk}{Dt} + \frac{P_f}{\langle \rho \rangle}$$

$$P_f = \langle \rho \rangle \frac{k_u}{f_k} \frac{Df_k}{Dt}$$

$$\langle \rho \rangle \frac{Dk_u}{Dt} = P_{ku} + P_f - \langle \rho \rangle \varepsilon_u + T_{ku} = f_k f_\rho (P_k - \bar{\rho} \varepsilon + T_k) + P_f + (\{v_i\} - \hat{v}_i) \frac{\partial k}{\partial x_i}$$

При дополнительном предположении, что $\{v_i\} - \hat{v}_i = 0$, можно получить

$$C_{1\varepsilon}^* = C_{1\varepsilon}, \quad C_{2\varepsilon}^* = C_{1\varepsilon} + \frac{f_k}{f_\varepsilon} (C_{2\varepsilon} - C_{1\varepsilon})$$

$$\sigma_{ku} = \frac{f_k^2}{f_\varepsilon} \sigma_k, \quad \sigma_{\varepsilon u} = \frac{f_k^2}{f_\varepsilon} \sigma_\varepsilon$$

Частично усреднённые уравнения Навье-Стокса: замыкающие соотношения

$$\langle \rho \rangle \frac{D\{v_i\}}{Dt} = -\frac{\partial \langle p \rangle}{\partial x_i} + \frac{\partial \langle \sigma_{ij} \rangle}{\partial x_j} - \frac{\partial}{\partial x_j} \left(\langle \rho \rangle \tau_1(v_i, v_j) \right) - R_i$$

$$\langle \rho \rangle \frac{DQ}{Dt} = -\{v_i\} \frac{\partial \langle p \rangle}{\partial x_i} + \{v_i\} \frac{\partial \langle \sigma_{ij} \rangle}{\partial x_j} - \{v_i\} \frac{\partial}{\partial x_j} \left(\langle \rho \rangle \tau_1(v_i, v_j) \right) - \{v_i\} R_i, \quad Q = \frac{1}{2} \{v_i\} \{v_i\}$$

$$R_i = -\frac{\partial}{\partial x_j} \left(2\mu_f \left(\frac{1}{2} \left(\frac{\partial \{v_i\}}{\partial x_j} + \frac{\partial \{v_j\}}{\partial x_i} \right) - \frac{1}{3} \frac{\partial \{v_k\}}{\partial x_k} \delta_{ij} \right) \right) = -\frac{\partial}{\partial x_j} (2\mu_f A_{ij})$$

$$P_f = \{v_i\} R_i = -\frac{\partial}{\partial x_j} (2\mu_f \{v_i\} A_{ij}) + 2\mu_f A_{ij} \frac{\partial \{v_i\}}{\partial x_j}, \quad \mu_f = \frac{P_f}{\left(2A_{ij} \frac{\partial \{v_i\}}{\partial x_j} \right)}$$

Wallin S., Girimaji S., Commutation error mitigation in variable-resolution PANS closure: Proof of concept in decaying isotropic turbulence, 6th AIAA Theoretical Fluid Mechanics Conference. American Institute of Aeronautics and Astronautics, 2011, [doi: 10.2514/6.2011-3105](https://doi.org/10.2514/6.2011-3105).

Girimaji S. S., Wallin S., Closure modeling in bridging regions of variable resolution (VR) turbulence computations, Journal of Turbulence, 14, 1, 72–98, 2013, [doi: 10.1080/14685248.2012.754893](https://doi.org/10.1080/14685248.2012.754893).

Частично усреднённые уравнения Навье-Стокса с учётом изменения параметра f_k

$$\frac{\partial \langle \rho \rangle}{\partial t} + \frac{\partial}{\partial x_i} (\langle \rho \rangle \{v_i\}) = 0$$

$$\frac{\partial}{\partial t} (\langle \rho \rangle \{v_i\}) + \frac{\partial}{\partial x_j} (\langle \rho \rangle \{v_i\} \{v_j\} + \langle p \rangle \delta_{ij}) = \frac{\partial}{\partial x_j} (\langle \sigma_{ij} \rangle + 2\mu_f A_{ij}) - \frac{\partial}{\partial x_j} (\langle \rho \rangle \tau_1(v_i, v_j))$$

$$\frac{\partial}{\partial t} (\langle \rho \rangle \{E\}) + \frac{\partial}{\partial x_i} (\langle \rho \rangle \{E\} \{v_i\} + \langle p \rangle \{v_i\}) =$$

$$= \frac{\partial}{\partial x_i} (\{v_j\} (\langle \sigma_{ij} \rangle + 2\mu_f A_{ij}) - \langle q_i \rangle) - \frac{\partial}{\partial x_i} \tau_2(v_i, H) - \frac{\partial}{\partial x_i} (\langle \rho \rangle \{v_k\} \tau_1(v_k, v_i)) +$$

$$+ \frac{\partial}{\partial x_i} \tau_2(v_j, \sigma_{ij}) - \frac{\partial}{\partial x_i} \left(\frac{1}{2} \langle \rho \rangle \tau_1(v_i, v_k, v_k) \right)$$

$$\frac{\partial}{\partial t} (\langle \rho \rangle k_u) + \frac{\partial}{\partial x_j} (\langle \rho \rangle k_u \{v_i\}) = P_{ku} + \mathbf{P}_f - \langle \rho \rangle \varepsilon_u + T_{ku}$$

$$\frac{\partial}{\partial t} (\langle \rho \rangle \varepsilon_u) + \frac{\partial}{\partial x_j} (\langle \rho \rangle \varepsilon_u \{v_i\}) = C_{1\varepsilon}^* P_{ku} \frac{\varepsilon_u}{k_u} - C_{2\varepsilon}^* \frac{\langle \rho \rangle \varepsilon_u^2}{k_u} + T_{\varepsilon u}$$

Численное решение системы частично усреднённых уравнений Навье-Стокса

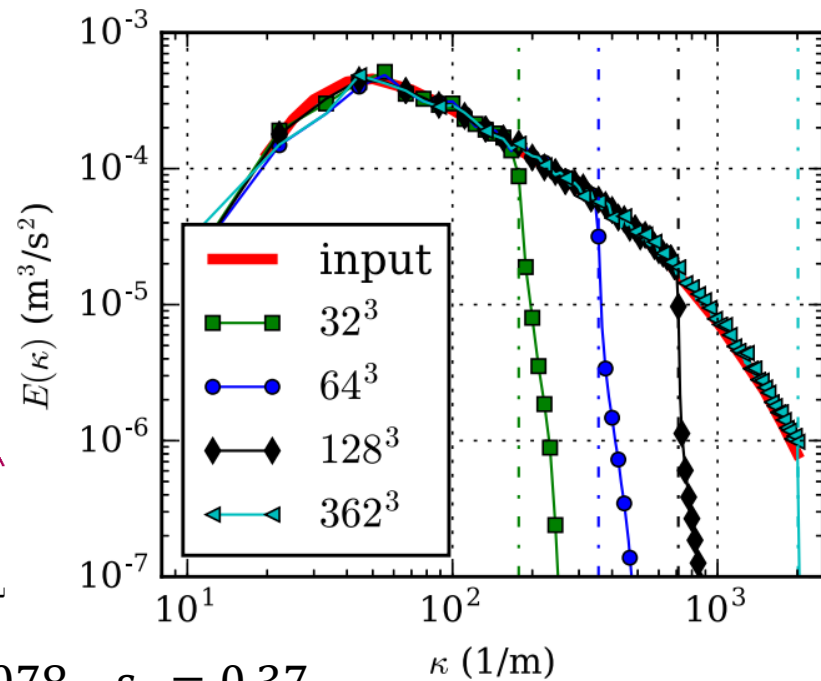
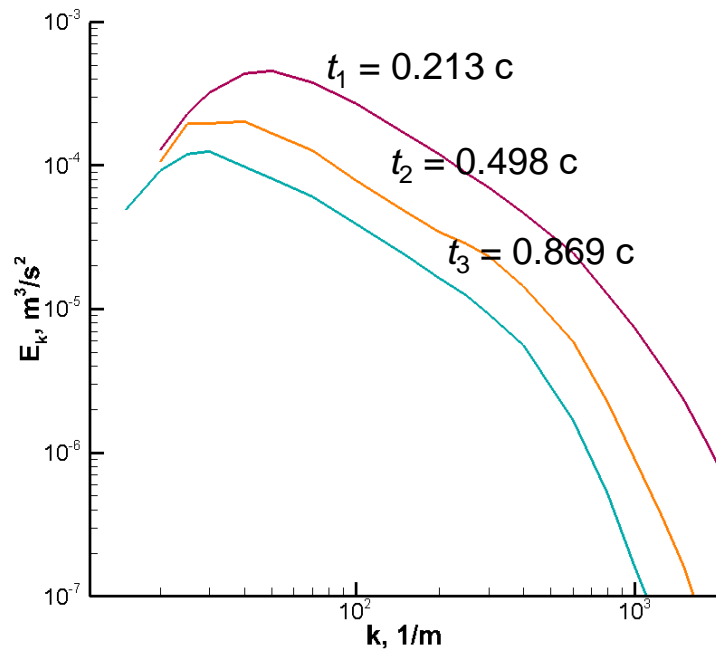
$$\frac{\partial U}{\partial t} + \frac{\partial F_i^a}{\partial x_i} = \frac{\partial F_i^v}{\partial x_i} + \frac{\partial F_i^t}{\partial x_i} + S$$

- Линейная аппроксимация консервативных величин на грани ячеек с использованием TVD ограничителей
- Точное (итерационное) или приближённое (HLLC) решение задачи о распаде разрыва на гранях ячеек
 - Интегрирование по времени: РКЗ
- Явно-неявное интегрирование по времени подсистемы с источником

Реализовано в программном комплексе NUT3D

Тишкин В.Ф., Никишин В.В., Попов И.В., Фаворский А.П., Разносные схемы газовой динамики для задачи о развитии неустойчивости Рихтмайера-Мешкова, Мат. модел., 7, 5, 15-25, 1995.

Затухание однородной изотропной турбулентности: постановка задачи

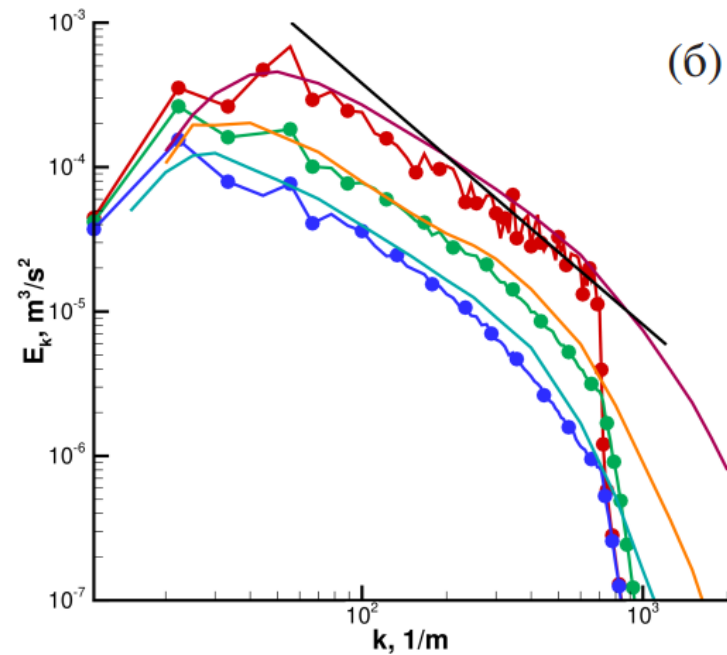
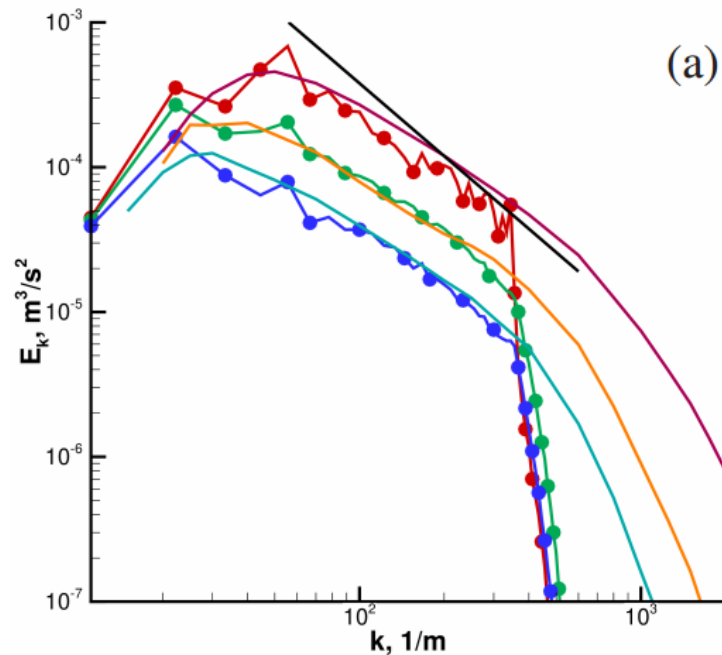


$$k_0 = 0.078, \quad \varepsilon_0 = 0.37$$

Comte-Bellot G., Corrsin S., The use of a contraction to improve the isotropy of grid-generated turbulence, J. Fluid Mech., 25, 4, 657-682, 1966, [doi: 10.1017/S0022112066000338](https://doi.org/10.1017/S0022112066000338).

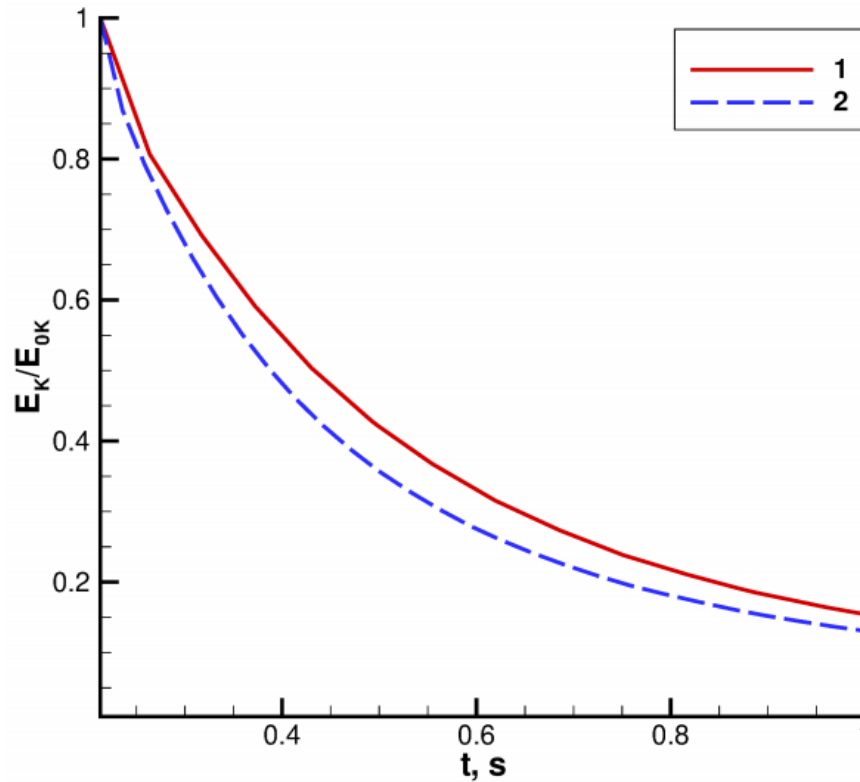
Saad T., Cline D., Stoll R., Sutherland J. C. Scalable Tools for Generating Synthetic Isotropic Turbulence with Arbitrary Spectra, AIAA Journal, 55, 1, 327-331, 2017, [doi: 10.2514/1.J055230](https://doi.org/10.2514/1.J055230).

Затухание однородной изотропной турбулентности: неявный метод крупных вихрей



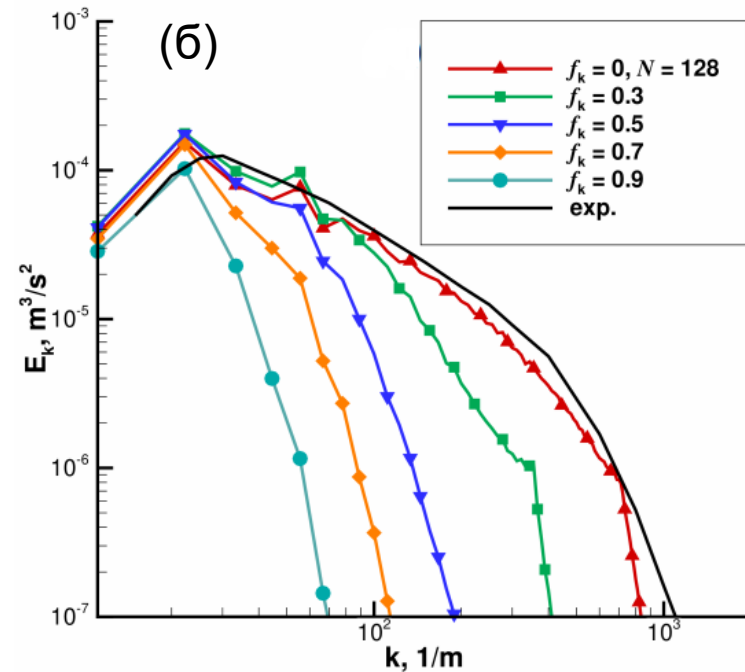
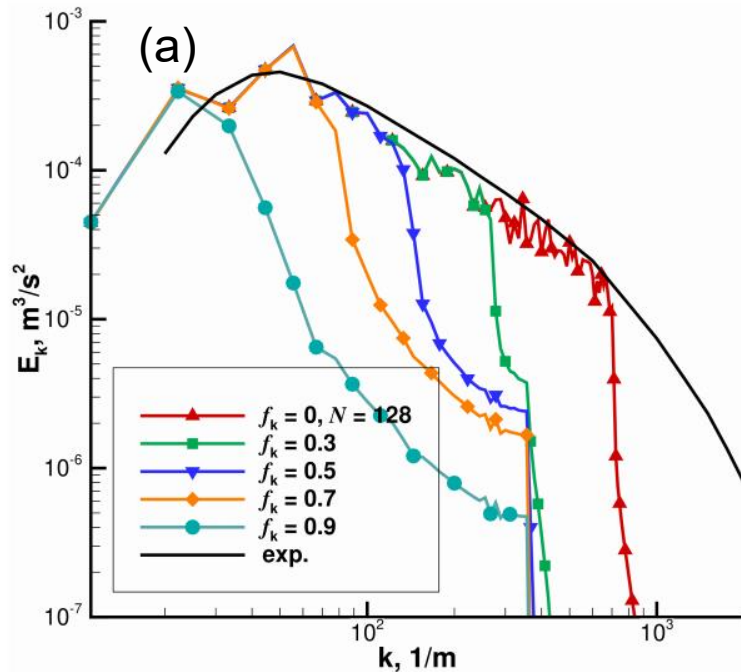
Спектральная плотность турбулентных пульсаций в различные моменты времени: (а) $N = 64$, (б) $N = 128$. Кривые с маркерами соответствуют численным данным, без маркеров – экспериментальным. Сплошная кривая соответствует колмогоровскому спектру с константой $C_K = 1.37$ и экспериментальным значением скорости диссипации ТКЭ $\epsilon_0 = 0.474 \text{ м}^2/\text{с}^3$.

Затухание однородной изотропной турбулентности: неявный метод крупных вихрей



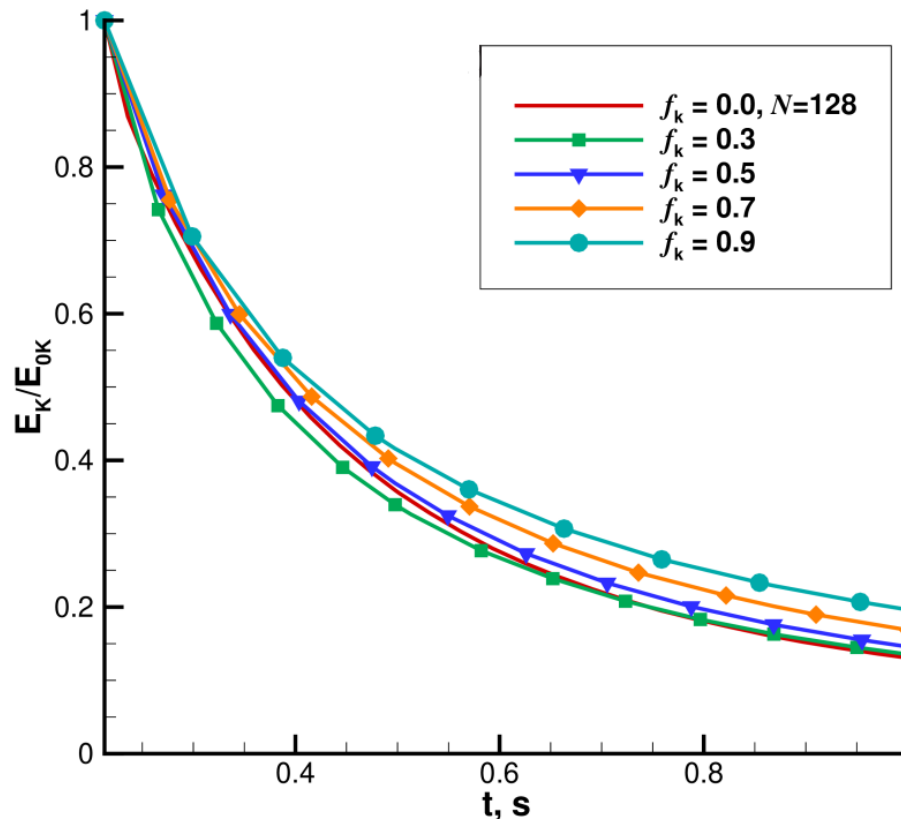
Зависимость нормированной полной кинетической энергии от времени:
1 – $N = 64$, 2 – $N = 128$.

Затухание однородной изотропной турбулентности: подход на основе частично усреднённых уравнений Навье-Стокса, постоянное значение f_k



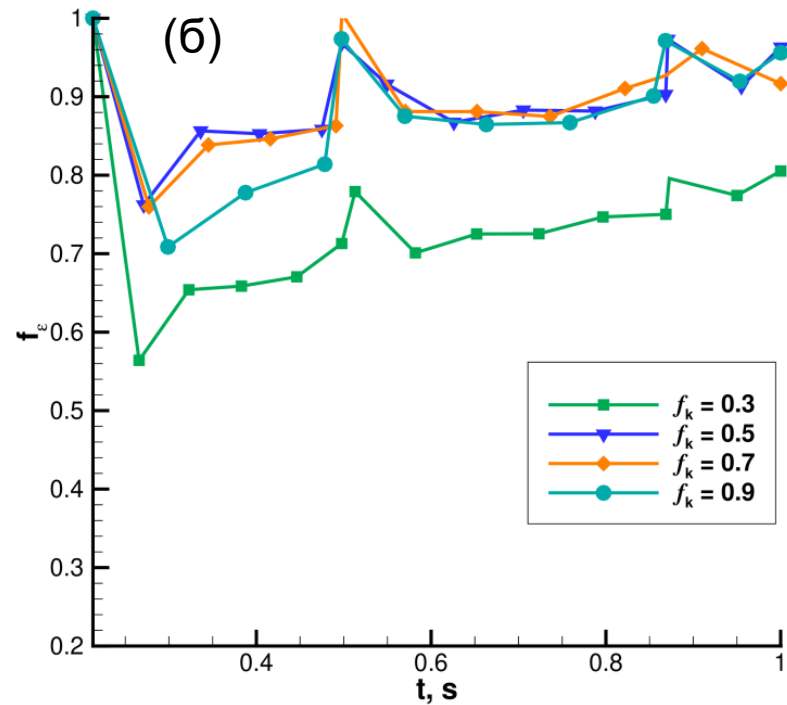
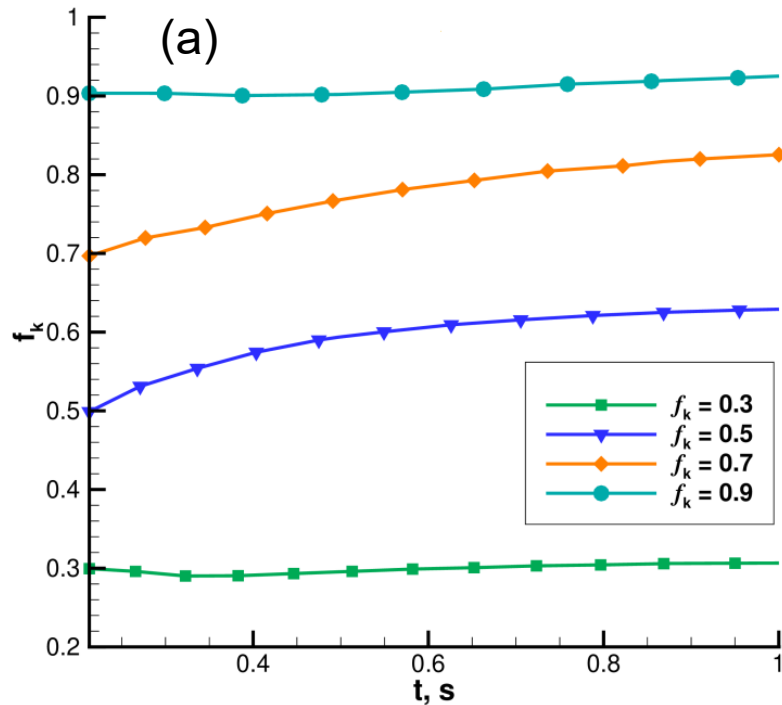
Спектральная плотность турбулентных пульсаций (а) в начальный момент времени, (б) в момент времени $t_3 = 0.869$ с при различных постоянных значениях параметра f_k .

Затухание однородной изотропной турбулентности: подход на основе частично усреднённых уравнений Навье-Стокса, постоянное значение f_k



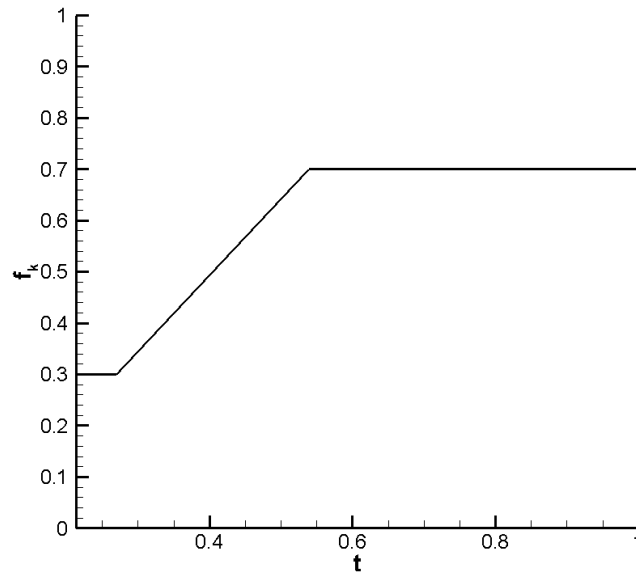
Зависимость нормированной полной кинетической энергии от времени при различных значениях параметра f_k .

Затухание однородной изотропной турбулентности: подход на основе частично усреднённых уравнений Навье-Стокса, постоянное значение f_k



Зависимость от времени рассчитанных значений f_k и f_ϵ .

Затухание однородной изотропной турбулентности: подход на основе частично усреднённых уравнений Навье-Стокса, переменное значение f_k

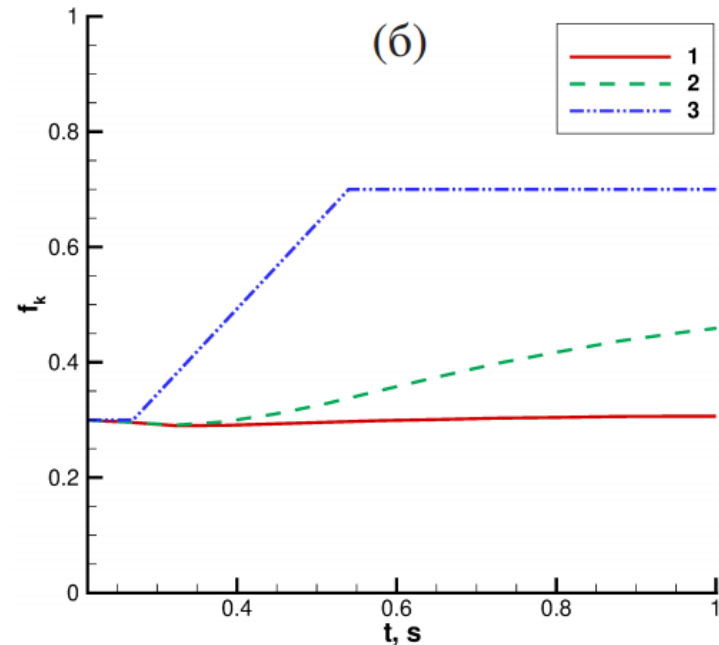
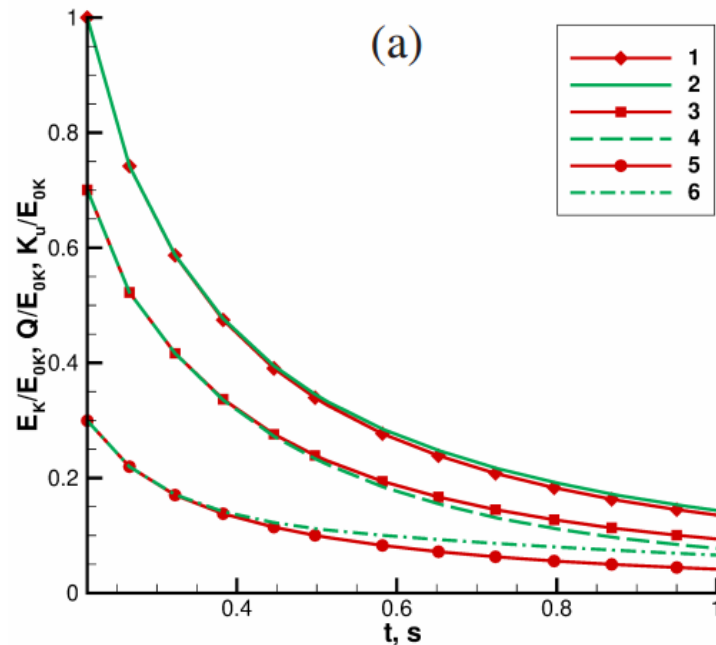


I. $P_f = 0, \mu_f = 0$

II. $P_f \neq 0, \mu_f = 0$

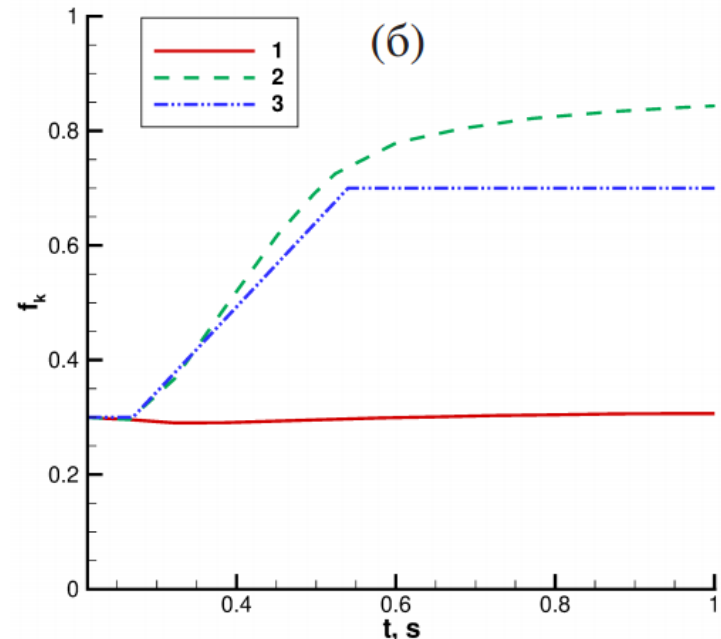
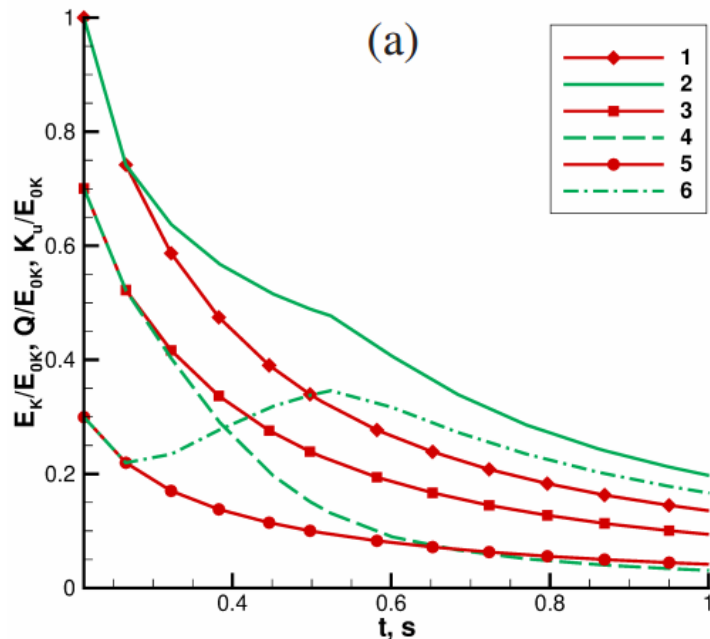
III. $P_f \neq 0, \mu_f \neq 0$

Затухание однородной изотропной турбулентности: подход на основе частично усреднённых уравнений Навье-Стокса, переменное значение f_k



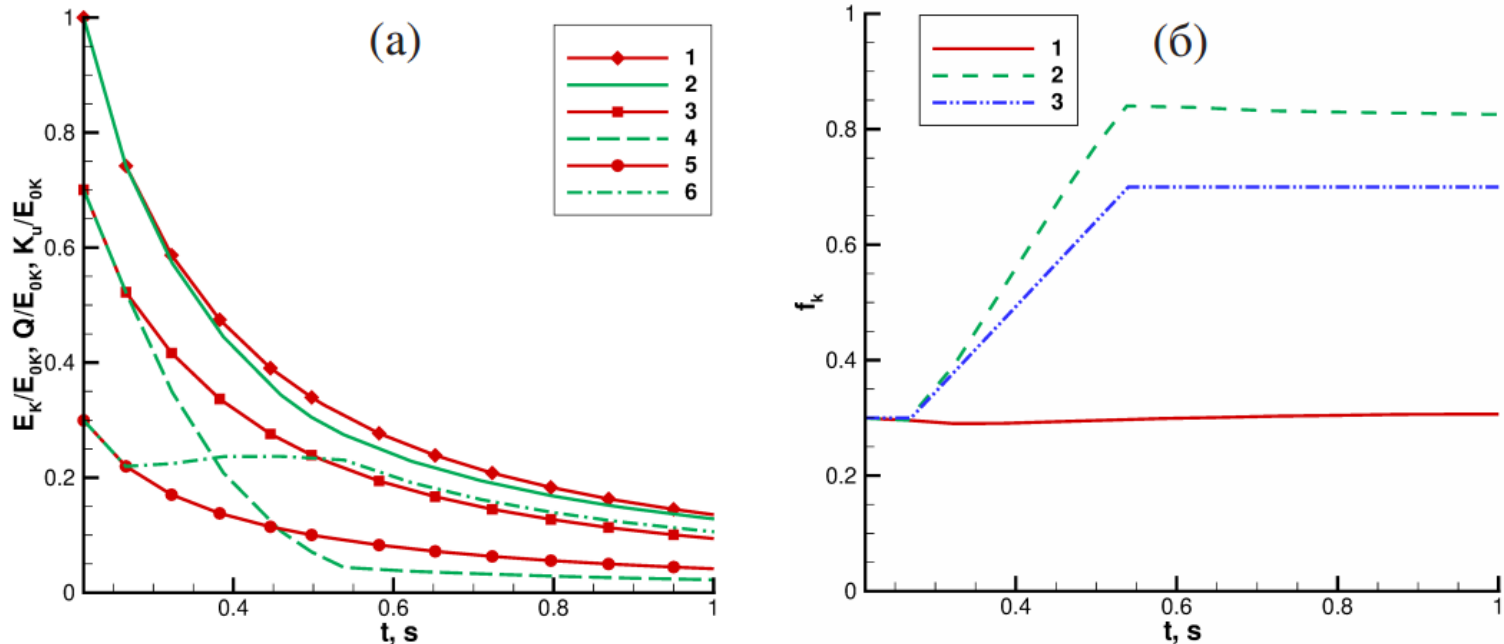
Зависимости от времени (а) полной кинетической энергии (1, 2), турбулентной кинетической энергии разрешённых пульсаций (3, 4) и турбулентной кинетической энергии неразрешённых пульсаций (5, 6), (б) расчётного значения f_k для расчёта с постоянным значением $f_k = 0.3$ и расчёта в первом варианте ($P_f = 0, \mu_f = 0$).

Затухание однородной изотропной турбулентности: подход на основе частично усреднённых уравнений Навье-Стокса, переменное значение f_k



Зависимости от времени (а) полной кинетической энергии (1, 2), турбулентной кинетической энергии разрешённых пульсаций (3, 4) и турбулентной кинетической энергии неразрешённых пульсаций (5, 6), (б) расчётного значения f_k для расчёта с постоянным значением $f_k = 0.3$ и расчёта во втором варианте ($P_f \neq 0, \mu_f = 0$).

Затухание однородной изотропной турбулентности: подход на основе частично усреднённых уравнений Навье-Стокса, переменное значение f_k



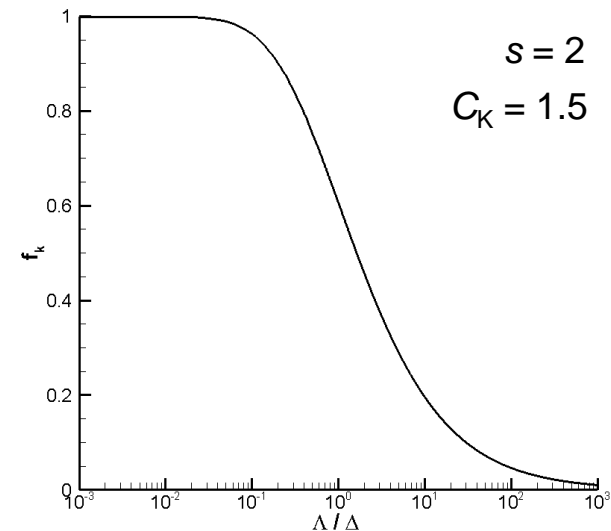
Зависимости от времени (а) полной кинетической энергии (1, 2), турбулентной кинетической энергии разрешённых пульсаций (3, 4) и турбулентной кинетической энергии неразрешённых пульсаций (5, 6), (б) расчётного значения f_k для расчёта с постоянным значением $f_k = 0.3$ и расчёта в третьем варианте ($P_f \neq 0, \mu_f \neq 0$).

Затухание однородной изотропной турбулентности: подход на основе частично усреднённых уравнений Навье-Стокса, адаптивное значение f_k

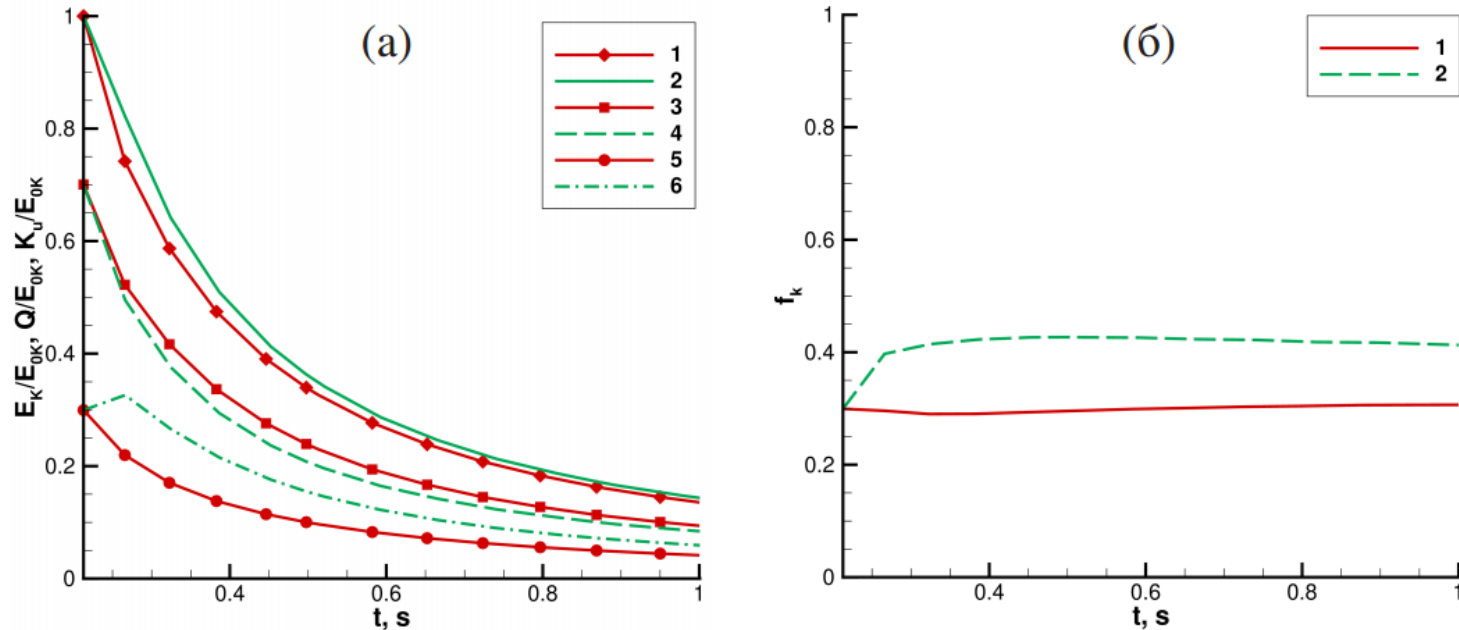
$$f_k = \frac{1}{\mathcal{K}} \int_{\kappa_c}^{\infty} E(\kappa) d\kappa, \quad E(\kappa) = C_K \varepsilon^{2/3} \kappa^s \left(\left(\frac{C_K \varepsilon^{2/3}}{C_S} \right)^{\frac{2}{5+3s}} + \kappa^{2/3} \right)^{-\frac{5+3s}{2}}$$

$$f_k = 1 - \left[\frac{\left(\frac{\Lambda}{\Delta} \right)^{2/3}}{\frac{C_K}{(1+s)\pi^{2/3}} + \left(\frac{\Lambda}{\Delta} \right)^{2/3}} \right]^{\frac{3}{2}(1+s)}$$

$$\Lambda = \mathcal{K}^{3/2} / \varepsilon, \quad \Delta = \pi / \kappa_c$$

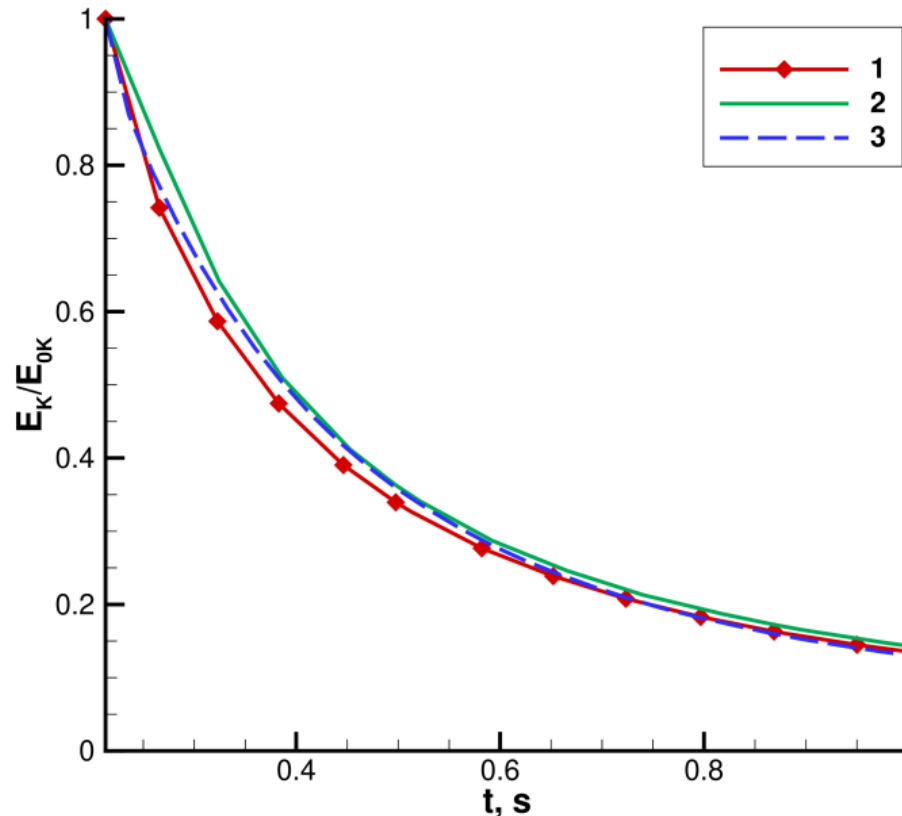


Затухание однородной изотропной турбулентности: подход на основе частично усреднённых уравнений Навье-Стокса, адаптивное значение f_k



Зависимости от времени (а) полной кинетической энергии (1, 2), турбулентной кинетической энергии разрешённых пульсаций (3, 4) и турбулентной кинетической энергии неразрешённых пульсаций (5, 6), (б) расчётного значения f_k для расчёта с постоянным значением $f_k = 0.3$ и расчёта с адаптивным значением f_k .

Затухание однородной изотропной турбулентности: подход на основе частично усреднённых уравнений Навье-Стокса, адаптивное значение f_k



Зависимость нормированной полной кинетической энергии от времени:
1 – постоянное значение $f_k = 0.3$, 2 – ILES, $N = 128$, 3 – адаптивное значение f_k .

Основные выводы и результаты

- Изменение отношения кинетических энергий разрешённых и неразрешённых пульсаций влечёт нарушение коммутативности оператора усреднения с пространственными и временной производными. В этой связи в уравнениях для полной энергии и турбулентной кинетической энергии появляются дополнительные члены, отвечающие за перераспределении энергии между разрешёнными и неразрешёнными масштабами при изменении f_k .
- Без учёта дополнительных слагаемых в уравнениях подход практически не реагирует на изменение параметра f_k . При учёте дополнительного слагаемого в уравнении для турбулентной кинетической энергии происходит нарушение закона сохранения энергии, и полная кинетическая энергия испытывает скачок. В случае учёта дополнительных слагаемых в обоих уравнениях происходит корректный учёт изменения порогового волнового числа со временем.
- Расчёты с адаптивным изменением параметра f_k на основе текущих характеристик частично усреднённого течения с учётом дополнительных членов позволяет получить лучшее согласие зависимости полной кинетической энергии в этом случае с результатами расчёта на более подробной сетке.

Благодарности

**Спасибо
за внимание**